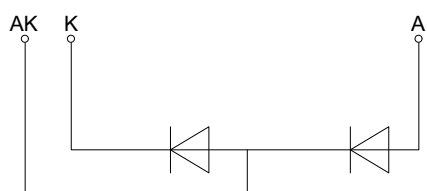
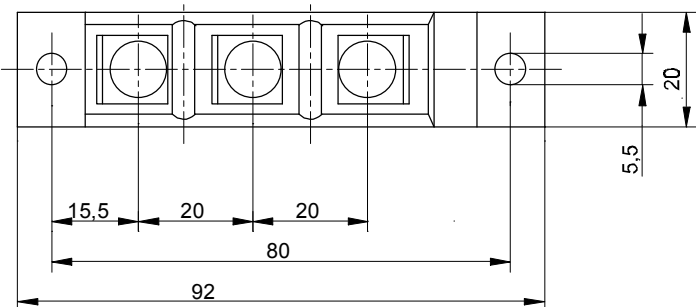
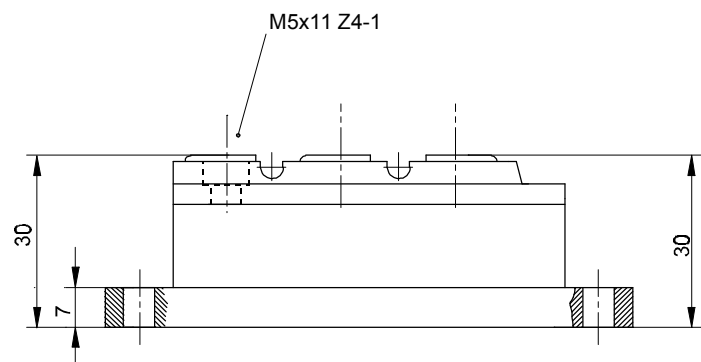


European Power-
Semiconductor and
Electronics Company
GmbH + Co. KG

Marketing Information DD 62 S



DD 62 S

Elektrische Eigenschaften		Electrical properties			
Höchstzulässige Werte		Maximum rated values			
Periodische Spitzensperrspannung	repetitive peak reverse voltage	$t_{vj} = -40^\circ\text{C} \dots t_{vj \max}$	V_{RRM}	400	600
Stoßspitzenspannung	non-repetitive peak reverse voltage	$t_{vj} = +25^\circ\text{C} \dots t_{vj \max}$	$V_{RSM} = V_{RRM}$	800	1000
Durchlaßstrom-Grenzeffektivwert	RMS forward current		I_{FRMSM}	4000	5000
Dauergrenzstrom	average forward current	$t_c = 100^\circ\text{C}$	I_{FAVM}	120	120 A
		$t_c = 84^\circ\text{C}$		61	A
Stoßstrom-Grenzwert	surge current	$t_{vj} \leq 45^\circ\text{C}, t_p = 10 \text{ ms}$	I_{FSM}	76	A
		$t_{vj} \leq 150^\circ\text{C}, t_p = 10 \text{ ms}$		1900	A
Grenzlastintegral	$\int i^2 t \text{ value}$	$t_{vj} \leq 45^\circ\text{C}, t_p = 10 \text{ ms}$	$\int i^2 t$	1600	A
		$t_{vj} \leq 150^\circ\text{C}, t_p = 10 \text{ ms}$		18050	A^2s
				12800	A^2s
Charakteristische Werte		Characteristic values			
Durchlaßspannung	forward voltage	$t_{vj} = 150^\circ\text{C}, i_F = 230 \text{ A}$	V_F	max. 1,62 V	
Schleusenspannung	threshold voltage		$V_{(TO)}$	1,0 V	
Ersatzwiderstand	slope resistance		r_T	2,2 mΩ	
Sperrstrom	reverse current	$t_{vj} = 150^\circ\text{C}, v_R = V_{RRM}$	i_R	40 mA	
Nachlaufladung	lag charge	$i_{FM} = 120 \text{ A}, -di_F/dt = 100 \text{ A}/\mu\text{s}$	Q_S	25 μAs	
Isolations-Prüfspannung	insulation test voltage	RMS, f = 50 Hz, t = 1 min.	V_{ISOL}	2,5 kV	
Thermische Eigenschaften		Thermal properties			
Innerer Wärmewiderstand	thermal resistance, junction to case	$\Theta = 180^\circ\text{el. sin: pro Modul/per module}$	R_{thJC}	0,305	°C/W
		pro Zweig/per arm		0,61	°C/W
		DC: pro Modul/per module		0,310	°C/W
		pro Zweig/per arm		0,620	°C/W
Übergangs-Wärmewiderstand	thermal resistance, case to heatsink	pro Modul/per module	R_{thCK}	0,08	°C/W
		pro Zweig/per arm		0,16	°C/W
Höchstzul. Sperrsichttemperatur	max. junction temperature		$t_{vj \max}$	150 °C	
Betriebstemperatur	operating temperature		$t_{c op}$	-40...+150 °C	
Lagertemperatur	storage temperature		t_{stg}	-40...+150 °C	
Mechanische Eigenschaften		Mechanical properties			
Innere Isolation	internal insulation			AIN	
Anzugsdrehmomente	tightening torques				
mechanische Befestigung	mounting torque	Toleranz/tolerance +/- 15%	M1	6 Nm	
elektrische Anschlüsse	terminal connection torque	Toleranz/tolerance +5%/-10%	M2	6 Nm	
Gewicht	weight		G	typ. 200 g	
Kriechstrecke	creepage distance			14 mm	
Schwingfestigkeit	vibration resistance	f = 50 Hz		5 · 9,81 m/s²	

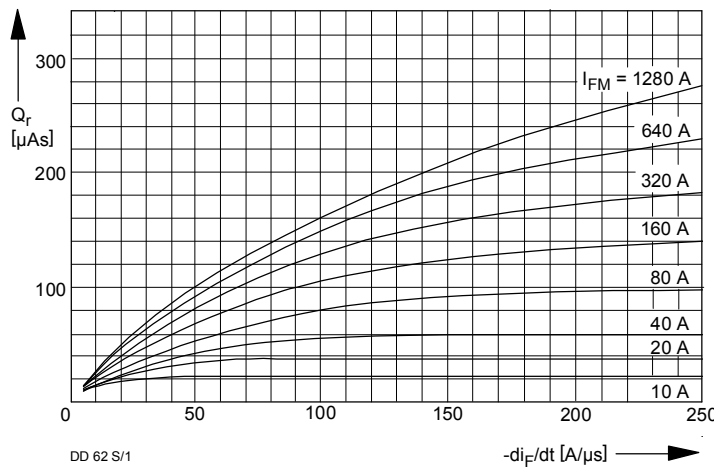


Bild / Fig. 1

Sperrverzögerungsladung $Q_r = f(-di/dt)$, $t_{vj} = t_{vj}(\max)$, $v_R \leq 0,5 V_{RRM}$, $v_{RM} = 0,8 V_{RRM}$ / Recovered charge $Q_r = f(-di/dt)$, $t_{vj} = t_{vj}(\max)$, $v_R \leq 0,5 V_{RRM}$, $v_{RM} = 0,8 V_{RRM}$ Parameter: Durchlaßstrom / On-state current I_{FM}

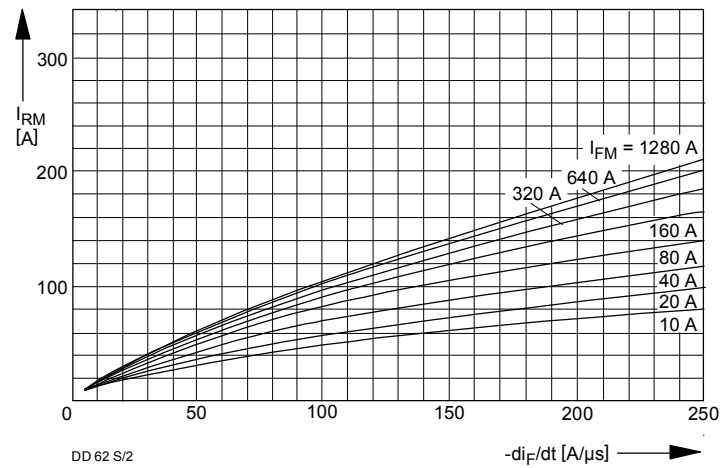


Bild / Fig. 2

Rückstromspitze $I_{RM} = f(-di/dt)$, $t_{vj} = t_{vj}(\max)$, $v_R \leq 0,5 V_{RRM}$; $v_{RM} = 0,8 V_{RRM}$ Peak reverse recovery current $I_{RM} = f(-di/dt)$, $t_{vj} = t_{vj}(\max)$, $v_R \leq 0,5 V_{RRM}$, $v_{RM} = 0,8 V_{RRM}$ Parameter: Durchlaßstrom / On-state current I_{TM}

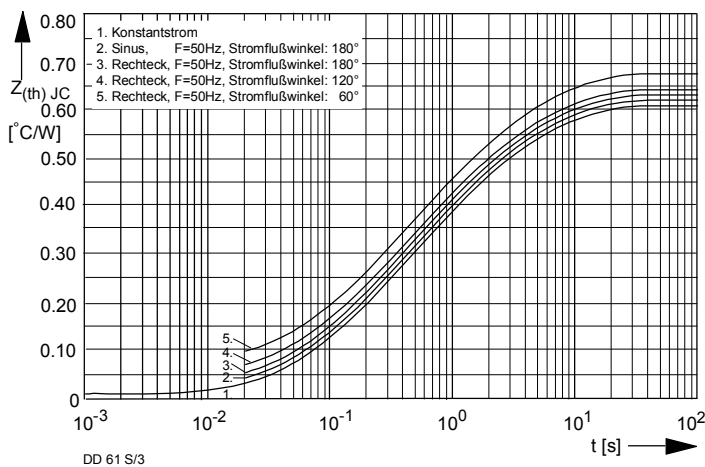


Bild / Fig. 3

Transienter innerer Wärmewiderstand Z_{thJC} für einen Zweig bei sinus- und trapezförmigem Stromverlauf / Transient thermal impedance Z_{thJC} , junction to case per arm at sinusoidal and trapezoidal waveform

Analytische Elemente des transistenten Wärmewiderstandes Z_{thJC} pro Zweig für DC
Analytical elements of transient thermal impedance Z_{thJC} per arm for DC

Pos. n	1	2	3	4	5	6	7
$R_{thn} [\text{°C}/\text{W}]$	0,0102	0,0329	0,0805	0,0741	0,072		
$\tau_n [\text{s}]$	0,00112	0,0175	0,322	1,21	7,5		

Analytische Funktion / Analytical function:

$$Z_{thJC} = \sum_{n=1}^{n_{\max}} R_{thn} (1 - e^{-\frac{t}{\tau_n}})$$